



# Vibrations induites par le trafic ferroviaire : expérimentations, modélisations et isolation

J-F Semblat, L. Lenti  
semblat@lcpc.fr, lenti@lcpc.fr

LCPC, France, [www.lcpc.fr](http://www.lcpc.fr)  
<http://perso.lcpc.fr/semblat.jean-francois>



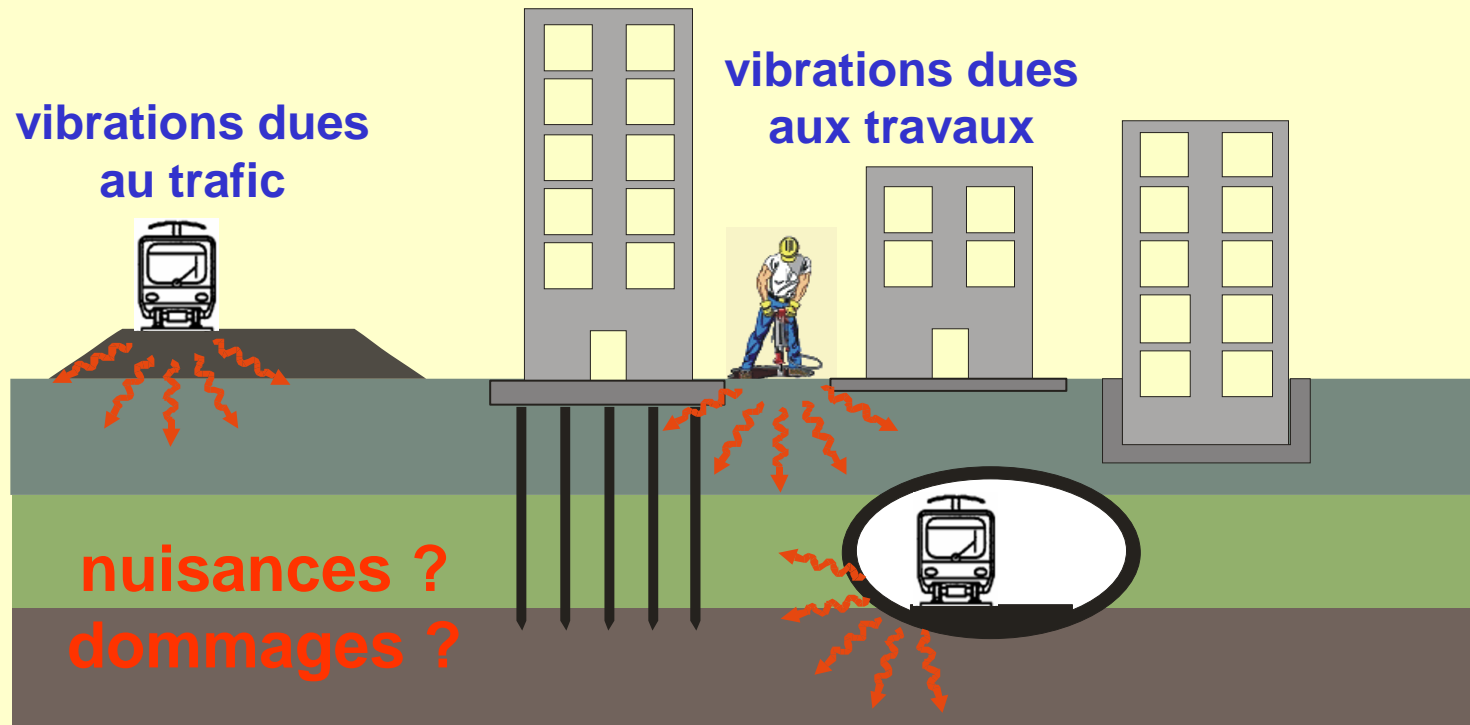
# Plan de la présentation

- I. Problématique
- II. Expérimentations
  - 1. *Mesures sur site*
  - 2. *Essais à échelle réduite*
  - 3. *Essais en laboratoire*
- III. Modélisations
  - 1. *Analyses théorique et numérique*
  - 2. *Exemples (FEM, BEM...)*
- IV. Isolation/mitigation
- V. Conclusion



# I/ Problématique

# Problèmes vibratoires



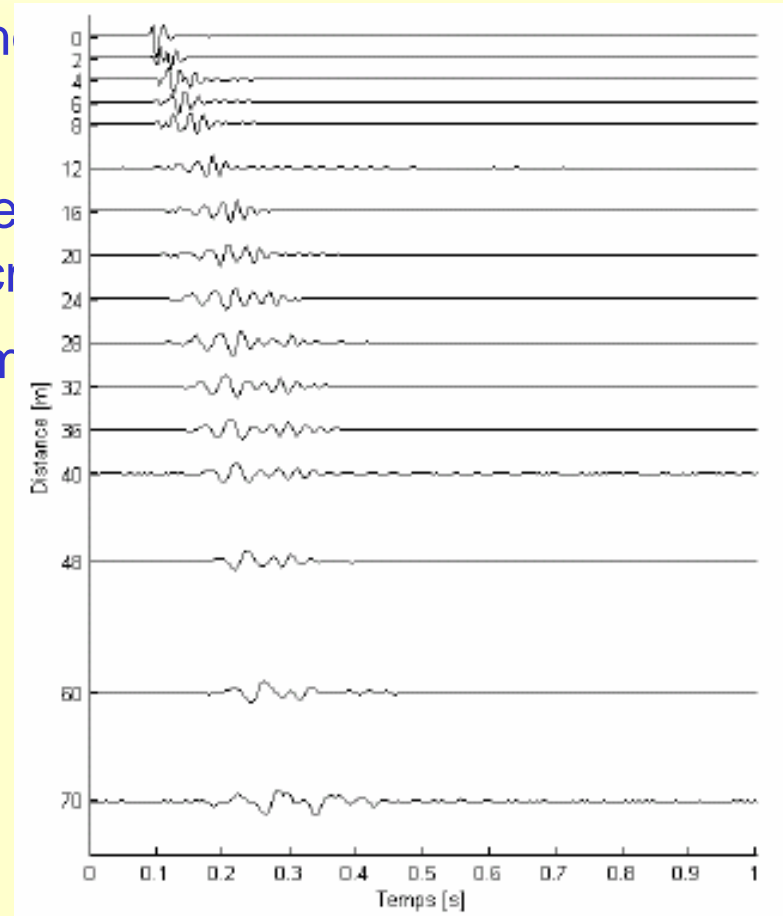
↔ sources ? propagation ? ISS ?  
(contact roue-rail, déformation voie)



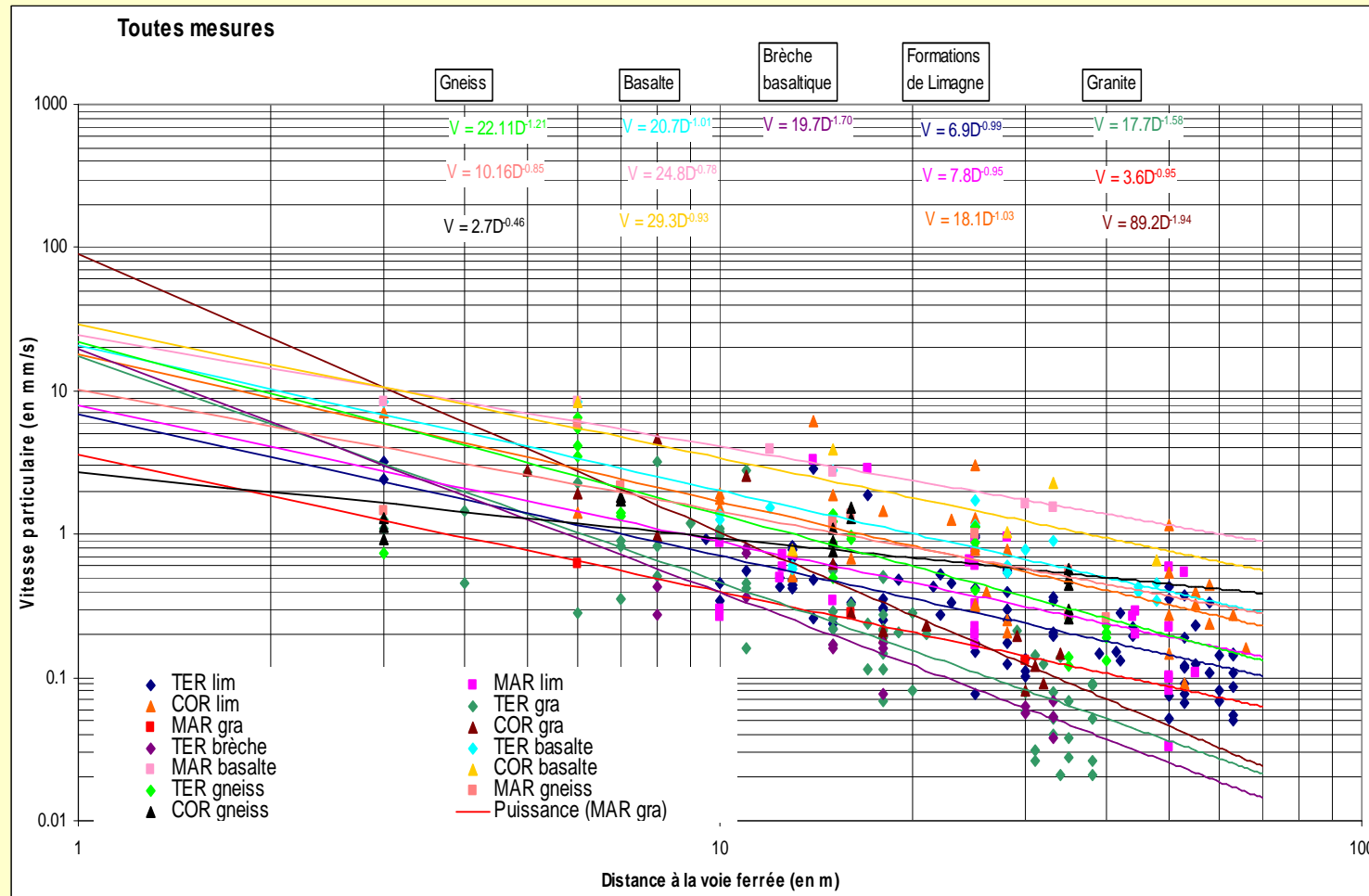
## II/ Expérimentations

# Essais sur site (1)

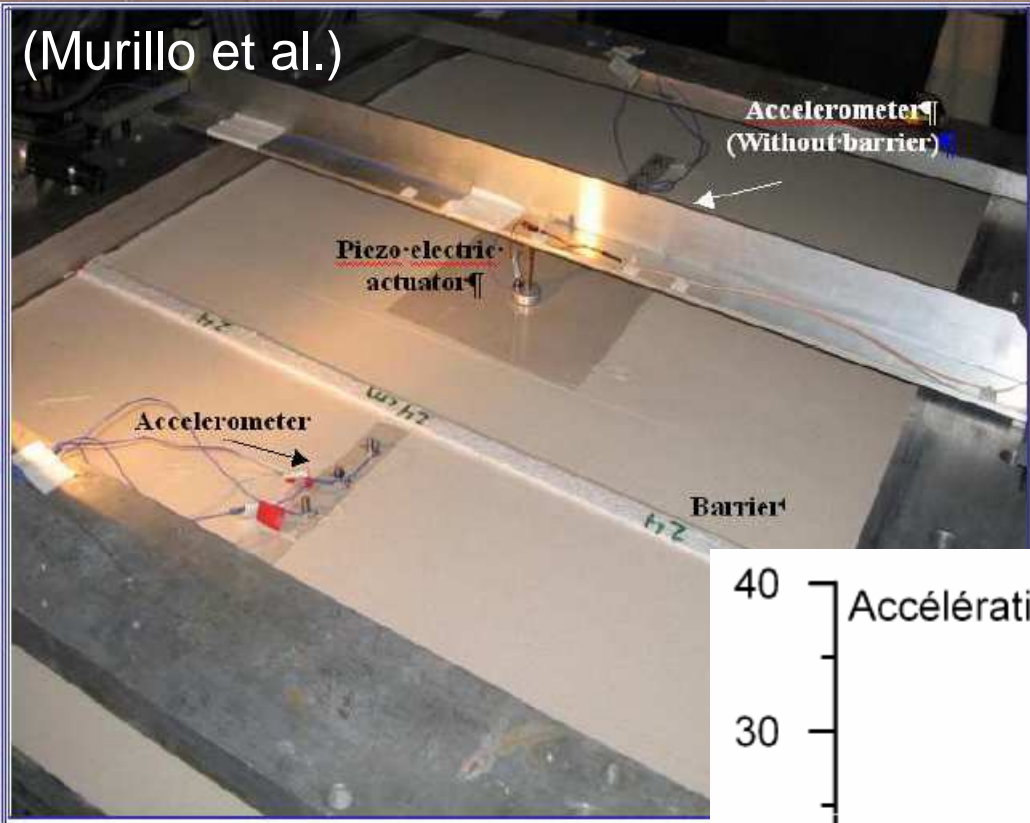
- Mesures de caractérisation du sol (méthode de l'essai de choc)
  - Excitation à 70 m de la voie (loin de la voie)
  - Socle = environ 300 kg, assemblage de tiges enfoncées dans le sol sur 70 cm
  - 2 approches : marteau et masse tombante



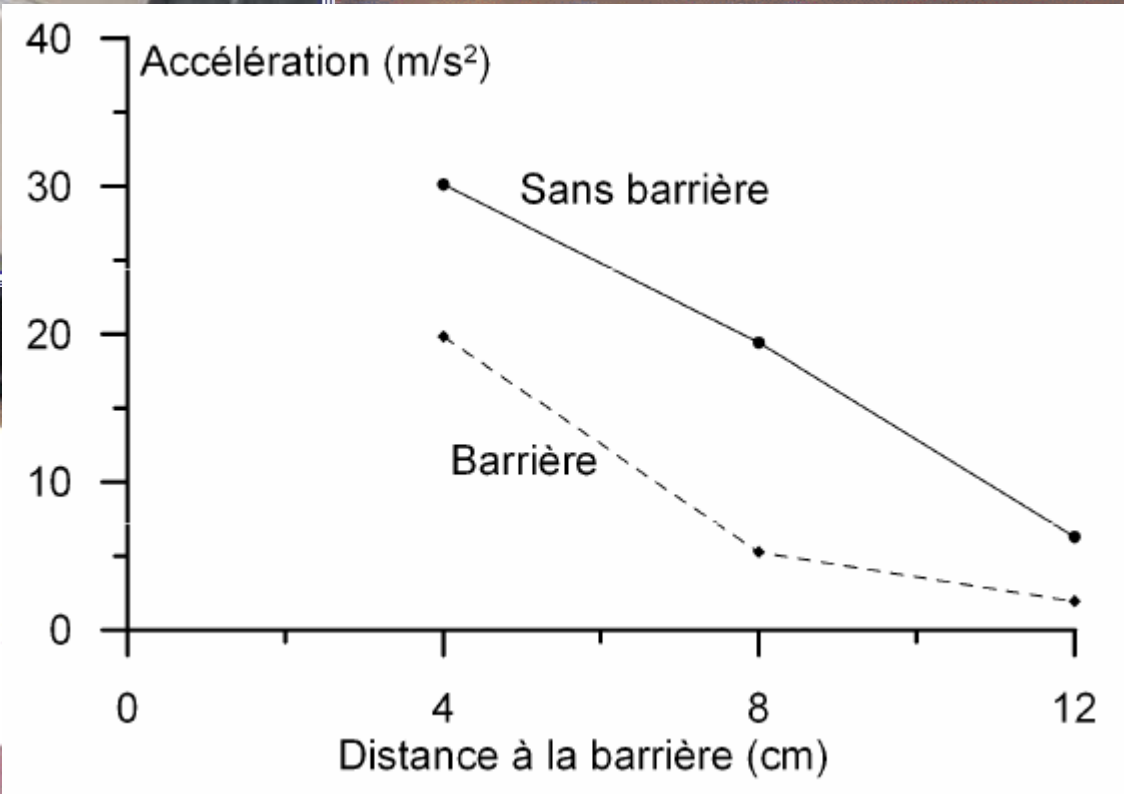
# Essais sur site (2)



(Murillo et al.)

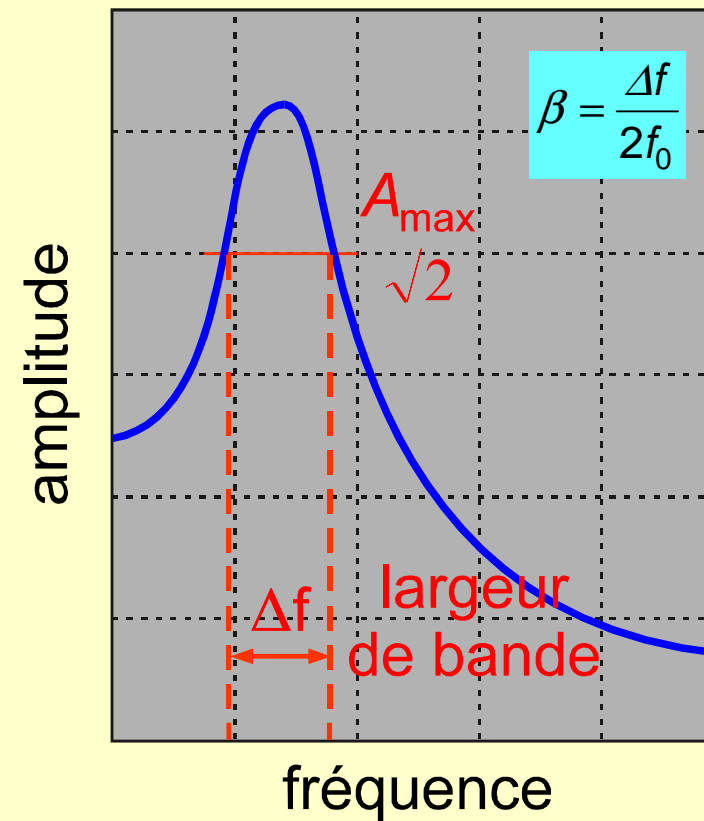


# Essais en centrifugeuse LCPC - Nantes



# Caractérisation dynamique

- Colonne résonnante : module, amortissement

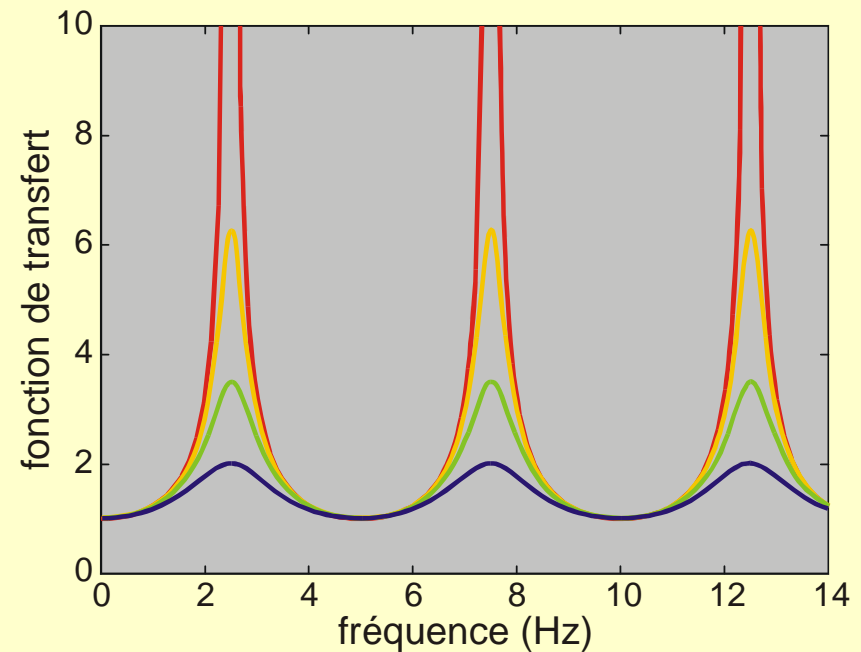
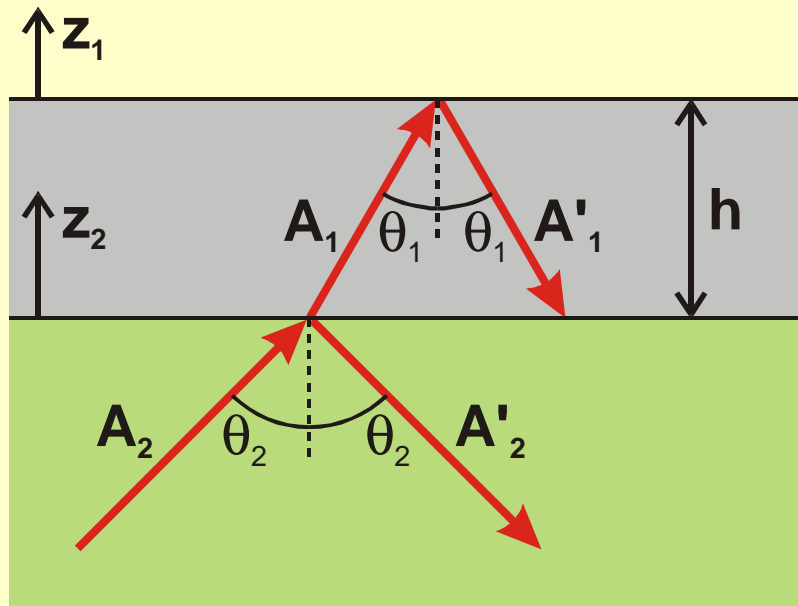




# III/ Modélisations

# Analyse simplifiée

- Couche élastique sur demi-espace élastique
- Onde sinusoïdale : solution analytique simple !
- Différents contrastes de vitesses : fonction de transfert



# Modélisation numérique

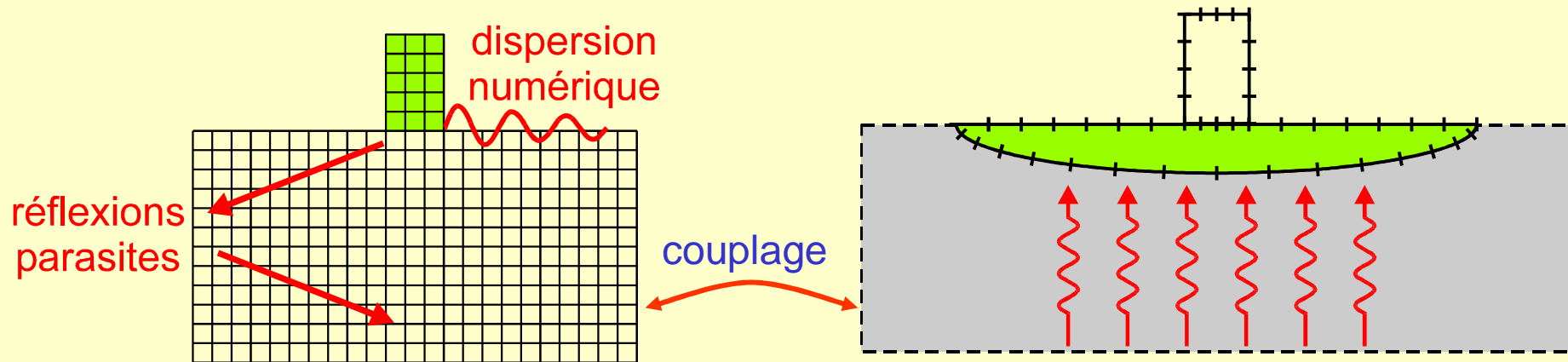
## Éléments finis

- ➡ comportements complexes
- ➡ fortes hétérogénéités
- ➡ dispersion numérique
- ➡ réflexions parasites

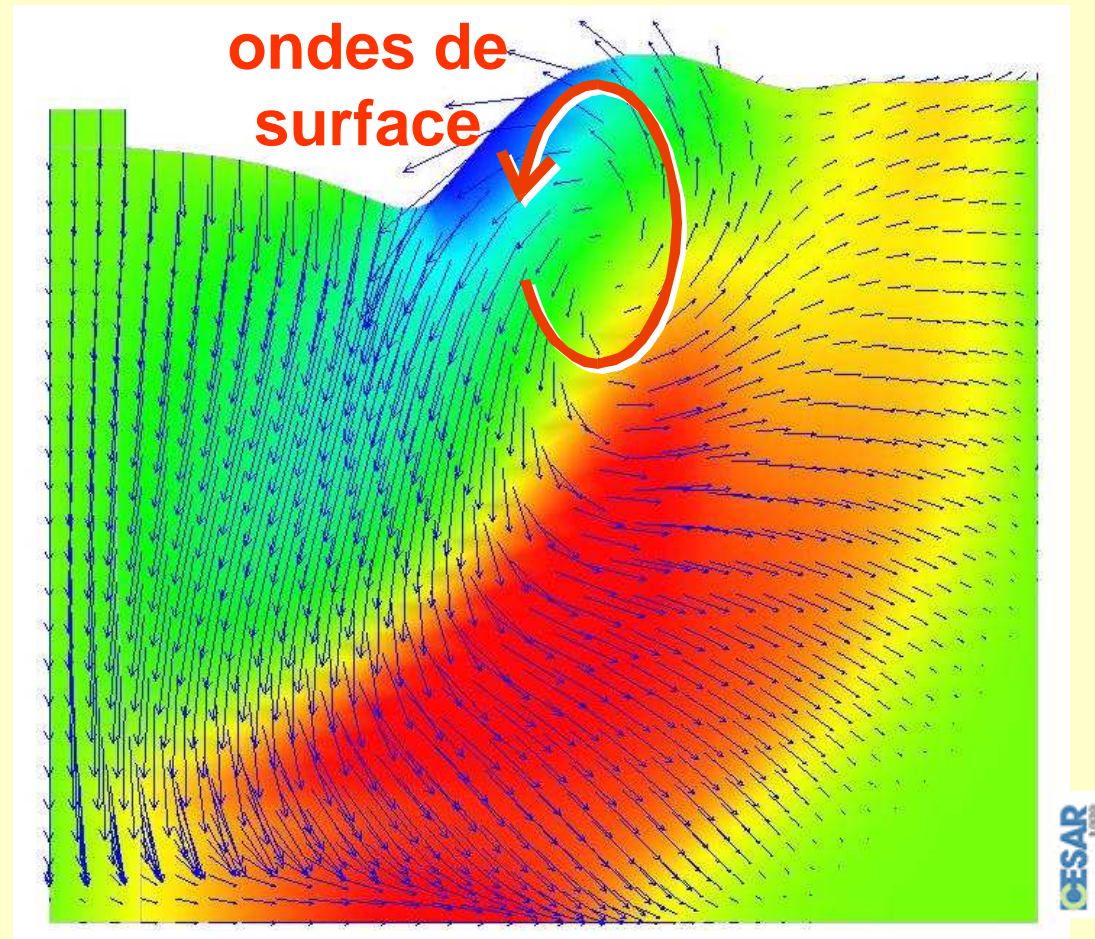
## Éléments de frontière

- ➡ comportements simples
- ➡ faibles hétérogénéités
- ➡ milieux (semi-) infinis
- ➡ modélisation des sollicitations dynamiques

grands modèles

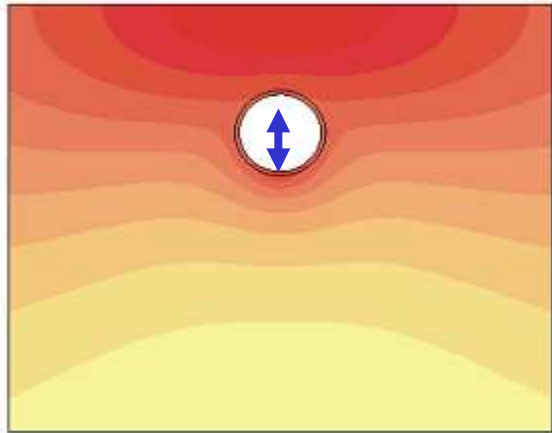


# Exemple : éléments finis

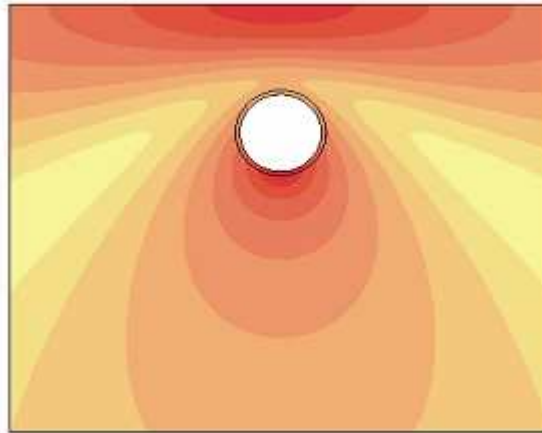


# Exemple : ééts de frontiére

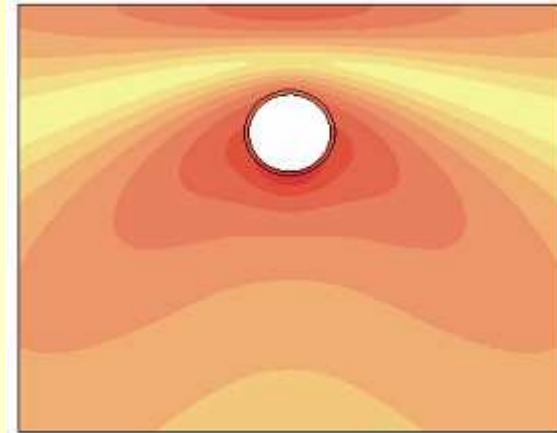
f=5Hz



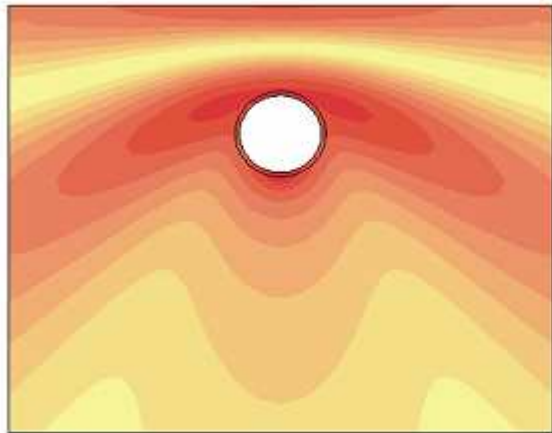
f=10Hz



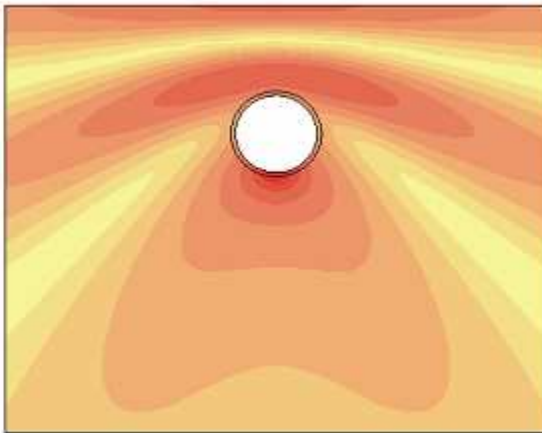
f=15Hz



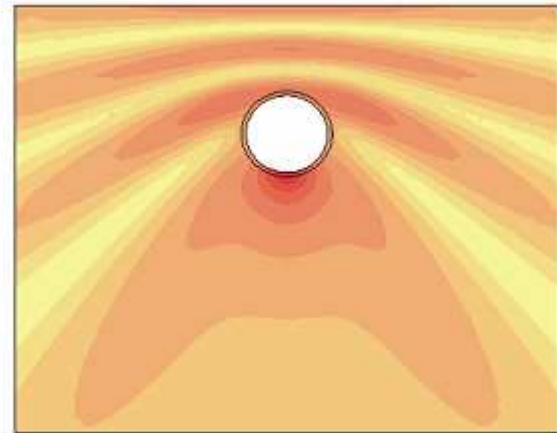
f=20Hz



f=25Hz



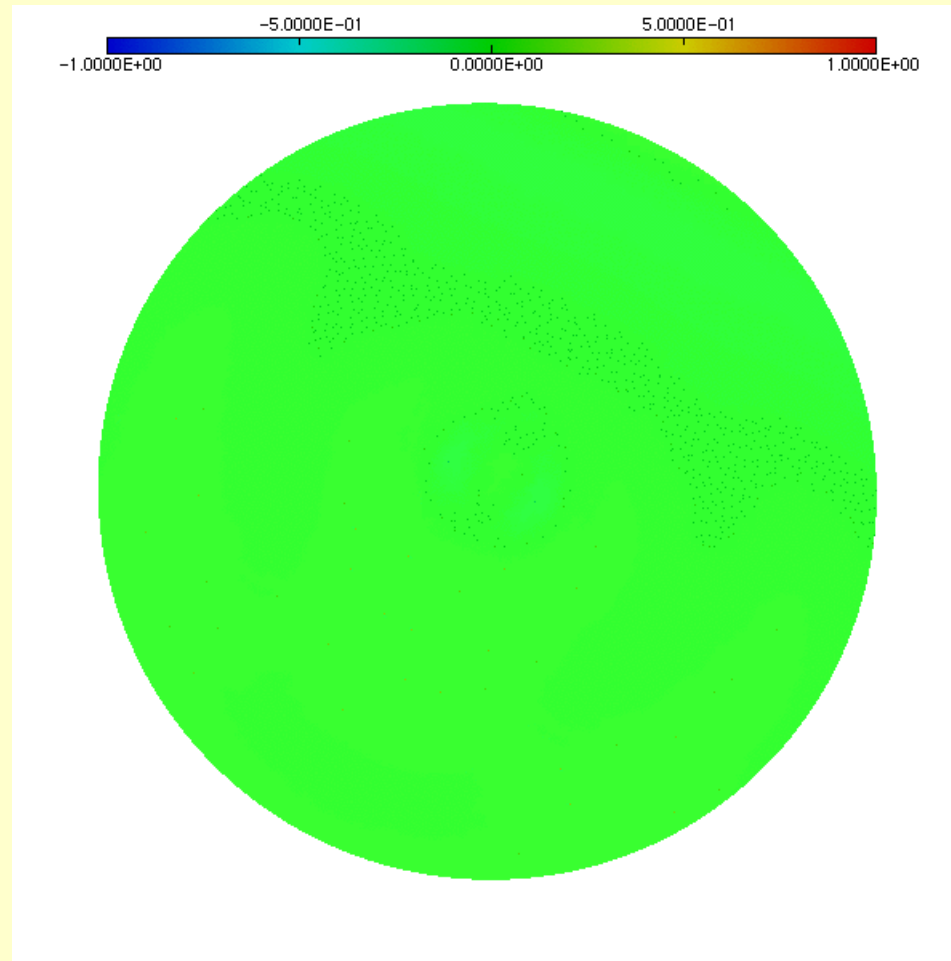
f=40Hz





# Exemple 3D : éltés de frontière

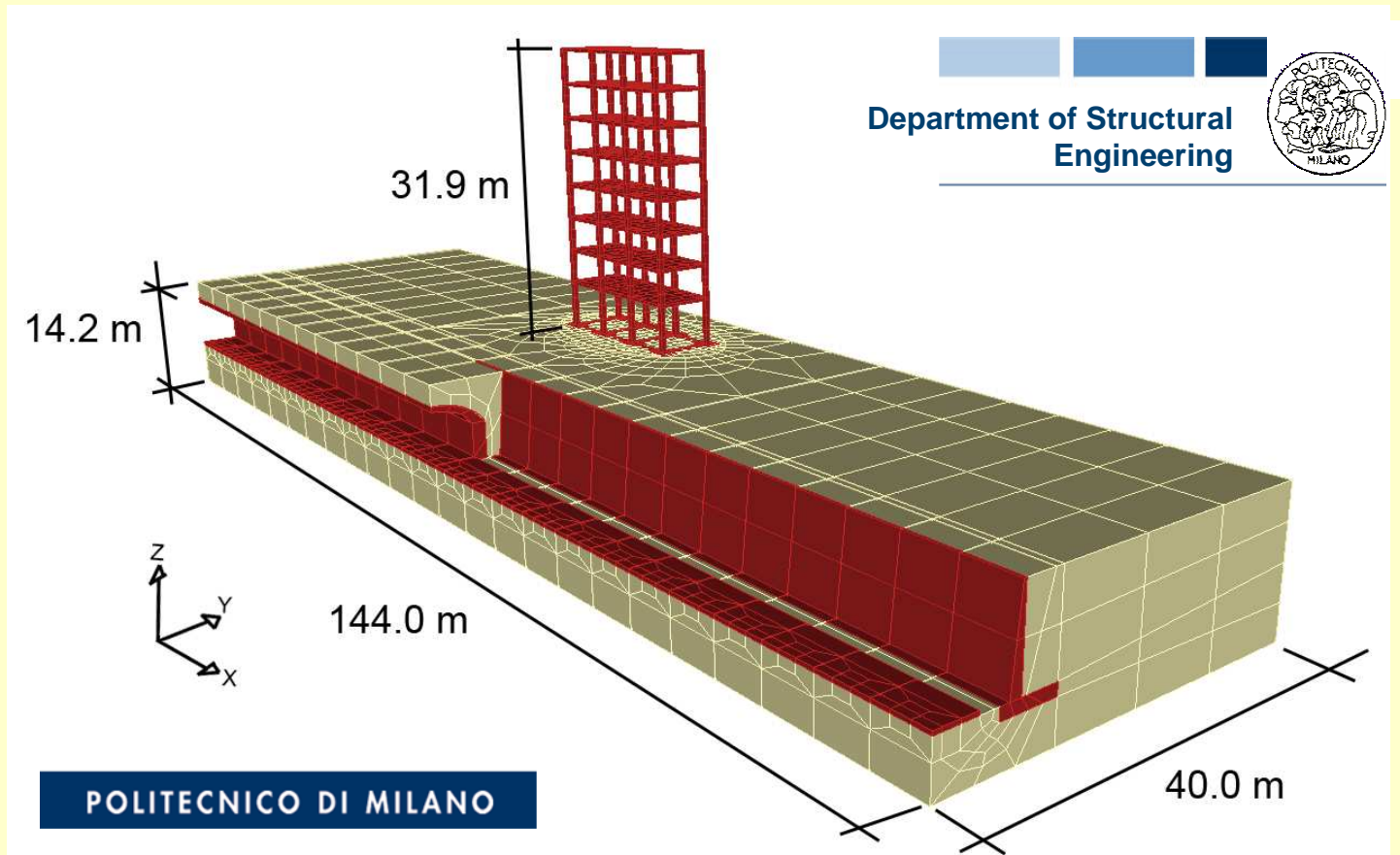
- **Onde +  
Zone moins  
raide en  
surface**
- **Ondes  
piégées !**
- **Nouvelle  
méthode :  
*"Multipôle  
rapide"*  
(LMS/LCPC)**



(Chaillat, Bonnet, Semblat, CMAME, 2008)



# Exemple 3D : ééts "spectraux"



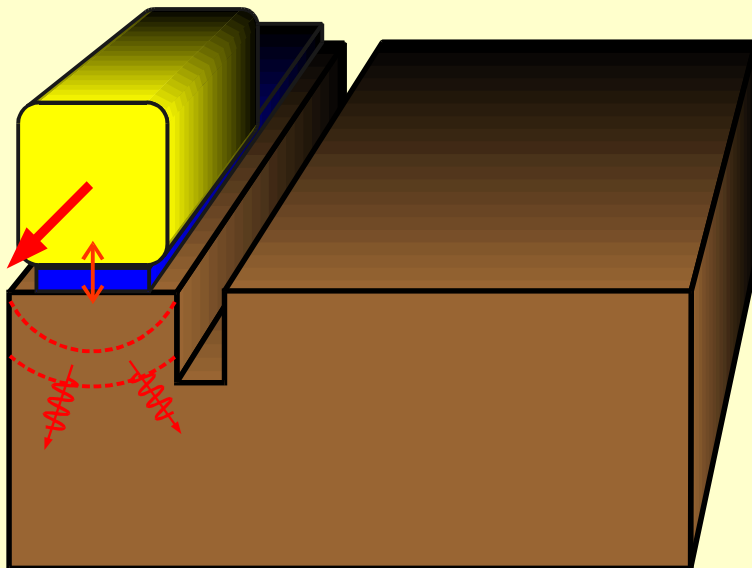


# IV/ Isolation

# Isolation vibratoire

**Enjeu** : limitation du niveau de vibration :

- à la source (émission),
- sur le trajet (propagation),
- dans les structures (récepteurs)

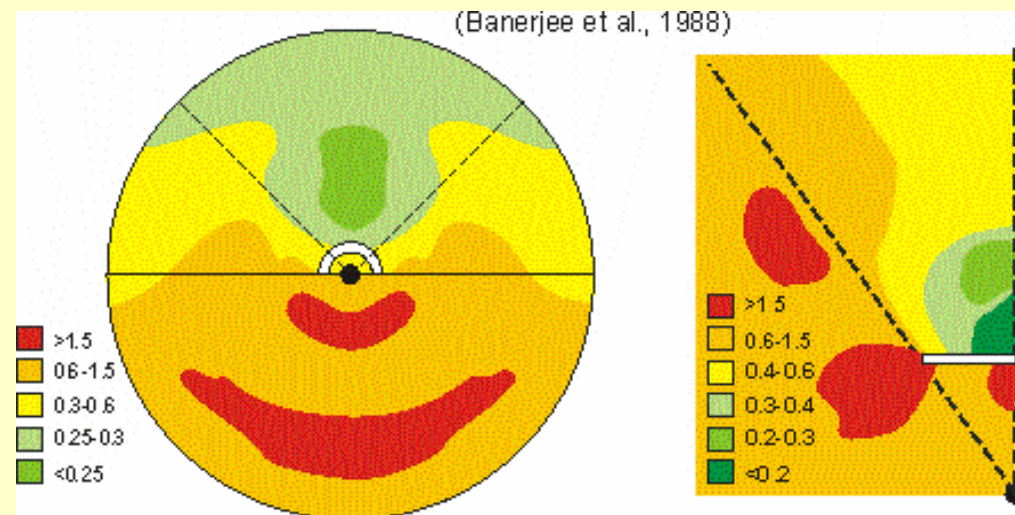
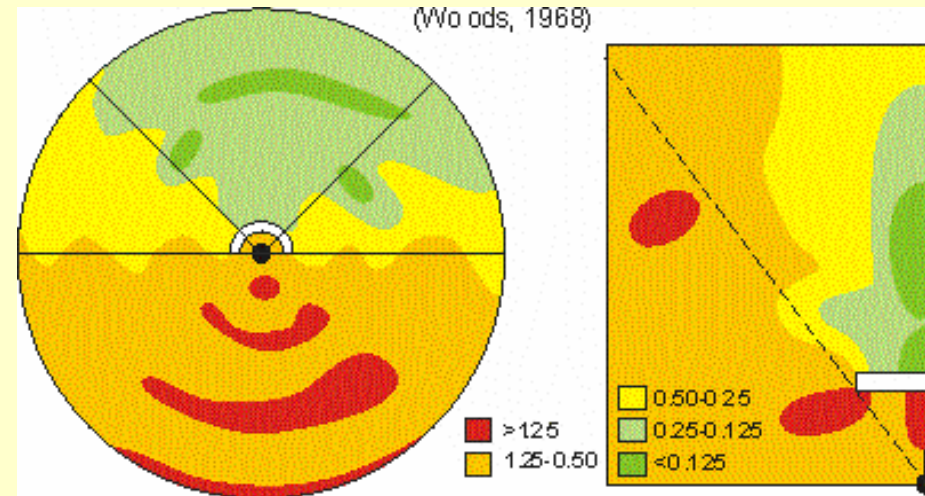


**Techniques** :

- couches absorbantes,
- écrans enterrés,
- masses ajoutées,
- ...

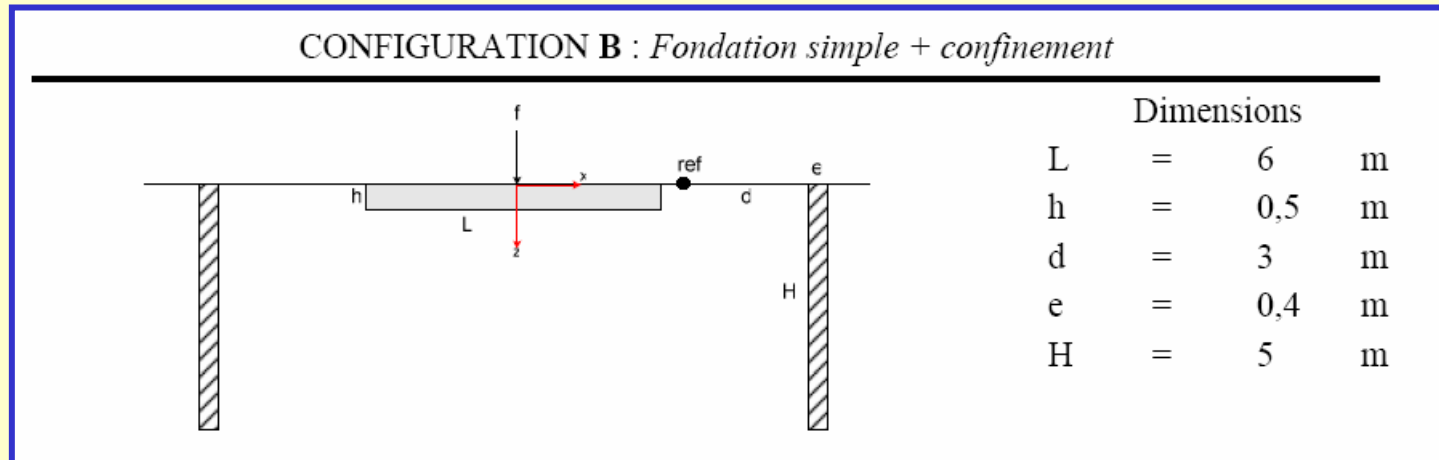
# Isolation : exemple 1

- Efficacité tranchées (facteur réduction d'amplitude)
- Comparaison expérimental (Woods, haut) et numérique (Banerjee, bas)



# Isolation : exemple 2

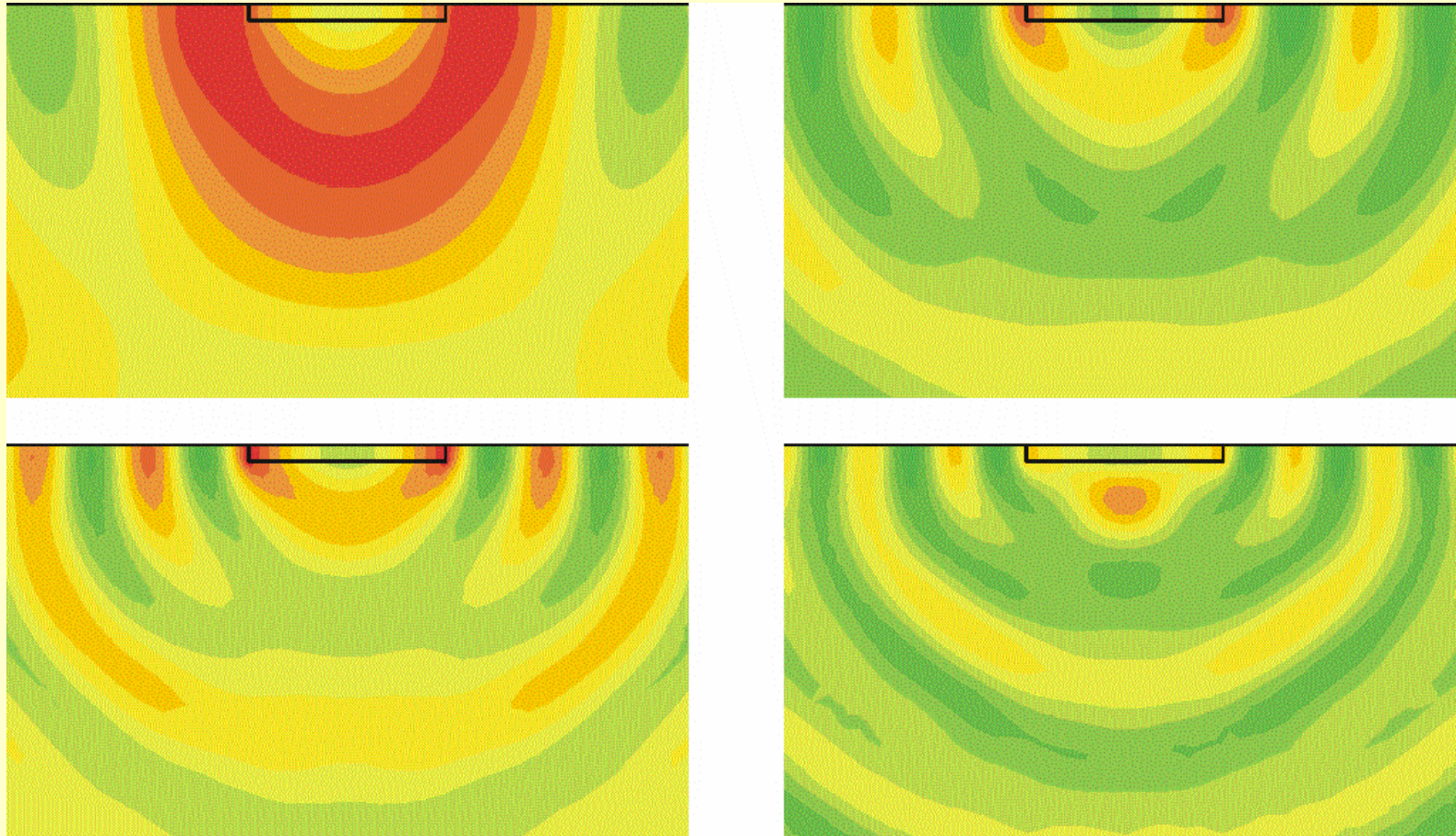
## Tests comparatifs avec RATP/CSTB



- Configurations types
- Modélisation numérique (2D/3D)
- Comparaisons méthodes
- Thèse RATP/CSTB (G. Coquel)

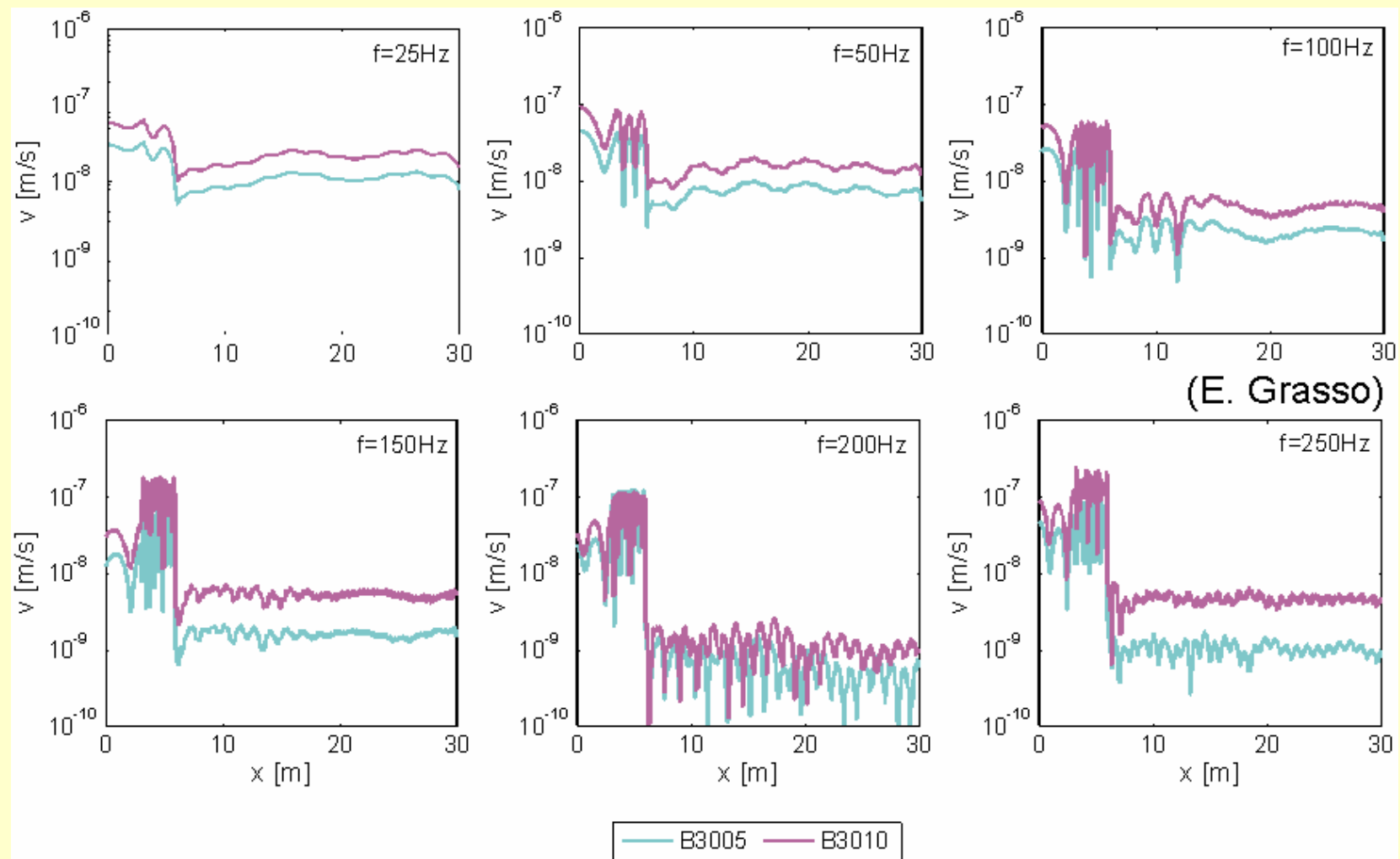


# Isolation : simulations LCPC

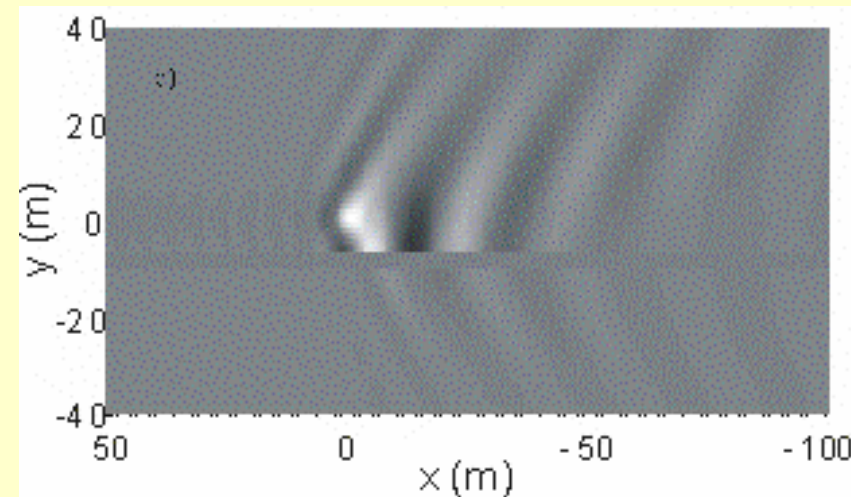
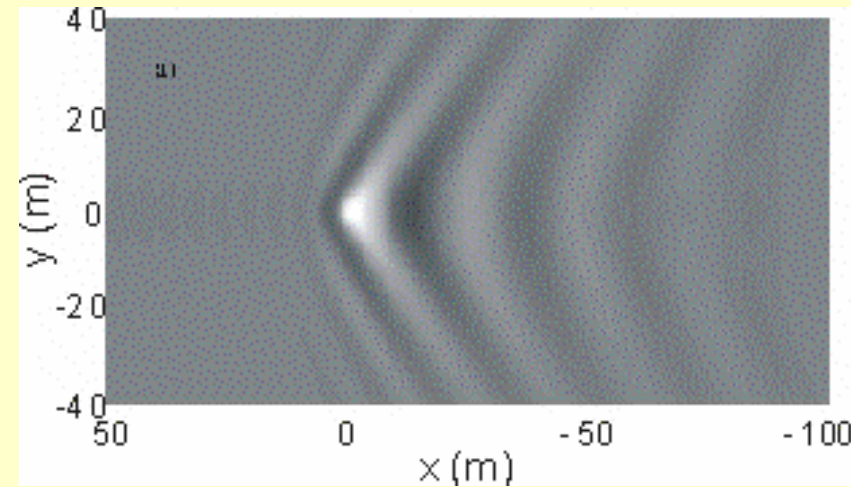




# Isolation : simulations LCPC (2)



# Isolation : exemple 3



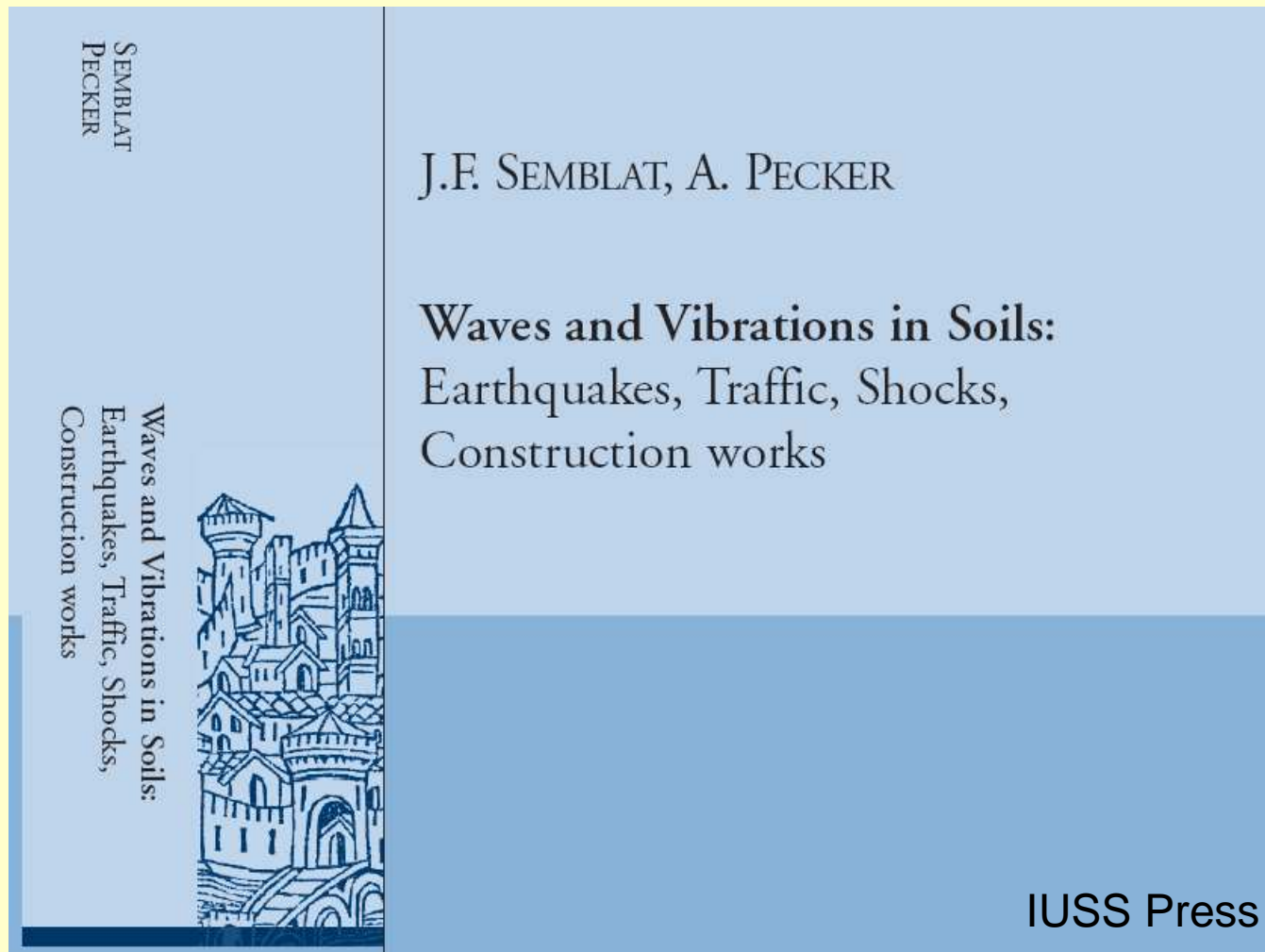
*(Kalström & Boström, SDEE, 2007)*

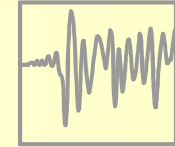


# V/ Conclusions

- Mesures sur site :
  - Source et sol réels
  - Complexité, généralisation difficile
- Modèles physiques/numériques :
  - Représentativité, erreurs...
  - Influence paramètres (échelle réduite !)
  - Efficacité dispositifs d'isolation
- Autres aspects :
  - Règles et normes : mesure + nuisances (circulaire 86, NF E 90-020...)
  - Dispositifs de mitigation innovants !

# Merci !





**Andersen L., Nielsen S.R.K.** (2005). Reduction of ground vibration by means of barriers or soil improvement along a railway track, *Soil Dynamics and Earthquake Engineering*, 25, pp.701-716.

**Becache E., Fauqueux S., Joly P.** (2003). Stability of perfectly matched layers, group velocities and anisotropic waves, *Jal Computational Physics*, 188(2), pp.399-433.

**Bonnet M.**, *Boundary integral equation methods for solids and fluids*, Wiley, Chichester, UK, 1999.

**Chaillat S., Bonnet M., Semblat J.F.** (2008). A multi-level fast multipole BEM for 3-D elastodynamics in the frequency domain, *Comp. Meth. in Applied Mech. & Eng.*, 197, pp.4233-4249.

**Dangla P., Semblat J.-F., Xiao H.H., Delépine N.**, A simple and efficient regularization method for 3D BEM: application to frequency-domain elastodynamics, *Bull. of Seismological Soc. of America*, 95(5): 1916-1927, 2005.

**Faccioli E., Maggio F., Paolucci R., Quarteroni A.**, 2D and 3D elastic wave propagation by a pseudo-spectral domain decomposition method, *Jal Seismology*, 1: 237-251, 1997.

**Festa G., Vilotte J.P., Delavaud E.** (2005). Interaction between surface waves and absorbing boundaries for wave propagation in geological basins : 2D numerical simulations, *Geophysical research letters*, 32(20), pp.L20306.1-L20306.4.

**François S., Pyl L., Masoumi H.R., Degrande G.** (2007). The influence of dynamic soil-structure interaction on traffic induced vibrations in buildings, *Soil Dynamics and Earthquake Engineering*, 27(7), pp.655-674

**Karlström A., Boström A.** (2007). Efficiency of trenches along railways for trains moving at sub- or supersonic speeds, *Soil Dynamics and Earthquake Eng.*, 27, pp.625-641.

**Komatitsch D., Vilotte J.P., Vai R., Castillo-Covarrubias J.M., Sanchez-Sesma F.J.**, The spectral element method for elastic wave equations, *Int. Jal for Numerical Methods in Eng.*, 45: 1139-1164, 1999.

**Meza-Fajardo K., Papageorgiou A.** (2008). A nonconvolutional, split-field, perfectly matched layer for wave propagation in isotropic and anisotropic elastic media: stability analysis, *Bull. Seism. Soc. Am.*, 98(4), pp.1811-1836.

**Paolucci R., Spinelli D.** (2006). Ground motion induced by train passage, *Jal of Eng. Mechanics*, 132(2), pp.201-210.

**Semblat J.F., Pecker A.** *Waves and vibrations in soils: Earthquakes, Traffic, Shocks, Construction works*, IUSS Press, 500 p., 2009.

**Semblat J.F., Kham M., Bard P.Y.**, Seismic wave propagation in alluvial basins and influence of Site-City Interaction, *Bull. Seism. Soc. of America*, 98(4), 2008.

**Semblat J.F., Brioist J.J.**, Efficiency of higher order finite elements for the analysis of seismic wave propagation, *Journal of Sound and Vibration*, 231(2), pp.460-467, 2000.